

立命館大学理工学部 正会員 藤井 滋穂

1. はじめに 既存施設で窒素(N)除去可能なステップフード嫌気好気活性汚泥法では、嫌気槽への配分率が重要な操作因子である。筆者らはすでに化学量論に基づく最適値を報告¹⁾したが、今回、浄化モデルによる数値計算で、その理論値の有効な条件を検討したので報告する。

2. 解析及び計算条件 本研究では、平均的な処理場流入水のCOD,BOD,SS,VSS値を各々500,240,220,165mg/Lと想定し、最初沈殿池浮遊物除去率を有機物40%,無機物70%として、表1の水質値を設定した。これが図1の^a時に流入する際の第2脱窒槽DN2への配分率r(以下ステップ率と呼ぶ)の影響を、表2の操作条件(返送率Rt,循環率Rcは各25,125%で固定)の場合について検討した。

3. 理論値の算出 理論計算では、まず脱窒反応、生物同化の影響を計算し、硝化脱窒のみに寄与するアルカリ度・NH4-N・基質量(COD)濃度を算出する。既報の方法²⁾でこれらを計算し(BOD/COD=0.7, 収率=0.5, 菌体N/COD=0.06で算出)、さらにアルカリ度の利用可能量をモデル計算の限界値12mg/Lで補正すると、各々123,28.5,148mg/Lとなる。これらを当量比に変換すると、アルカリ度当量比aは1.18、基質当量比bは1.77となる(各々NH4-N濃度との比×0.28,0.35)。既報¹⁾では、ステップフード嫌気好気法では4槽の律速水質の違いで表3に示す16ケースがあり、ケースがステップ比rの変化で8種類のパターンで遷移することを示した(このa,b値と返送+循環率,R(R=Rt+Rc)は固定)。今回のa,b,R(=1.5)値ではrの増大によりケース6→8→14に遷移するパターンとなる(既報のZone D)。これは、rが小さい間は第2脱窒槽DN2で基質律速となるが(ケース8)、31%を越えると十分となり(ケース6)、さらに79%以上では、逆にDN1で基質律速(ケース14)となるパターンである。好気槽はN1,N2ともアルカリ度不足である。表4に処理水質の計算式を図2にその図を示す。理論的最大N除去は、ケース6→8への遷移時に生じ、本条件ではr=31%,放流水N=5.4mg/Lとなる。なお、NH4-N,NOx-Nともこの最大N除去時に最低となる。

表1 想定曝気槽流入水質(mg/L)

表2 モデル計算条件

条件	設定値	水質指標値	モデル変数値
S-COD	256	S難分解COD	30
P-COD	146	S易分解COD	226
T-COD	402	P難分解COD	48
S-BOD	158	P易分解COD	74
P-BOD	49	他栄養性菌	24
T-BOD	207	自栄養性菌	0.2
VSS	98	D O	0.1
SS	115	NOx-N	0
T-N	38	NH4-N	25
NH4-N	25	アルカリ度	120
最終沈殿池滞留時間	3 hr	無機SS	17

S=溶解性, P=浮遊性, T=全

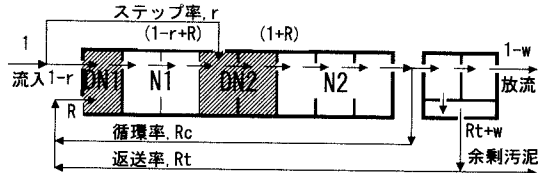
図1 想定処理プロセスの基本フロー
(DN1(DN2):第1(2)脱窒槽, N1(N2):第1(2)好気槽)

表3 各ケースの律速水質

	ケース															
	1	2	3	5	6	7	8	9	10	11	14	16	17	18	19	20
第1脱窒槽	N (NO ₃ -N)															
第1好気槽	N (NH ₄ -N)	他(アルカリ度)	N (NH ₄ -N)	他(アルカリ度)												
第2脱窒槽	N	他	N	他	N	他	N	他	N	他	N	他	N	他	N	他
第2好気槽	N	他	N	他	N	他	N	他	N	他	N	他	N	他	N	他

■は理論的に起こり得ないケース。 □は窒素以外が律速。

表4 Zone Dでのケース変化とその放流水質値(流入NH₄-N比)

Case	r条件	NH ₄ -N	NO _x -N	無機態窒素
6	r<r1	1- $\frac{aR1+br}{2+R}$	$\frac{a-br}{2+R}$	1- $\frac{aR+2br}{2+R}$
6/8	r=r1	1- $\frac{a(a+3b)R1}{a+b+(a+3b)R1}$	$\frac{(a+b)a}{a+b+(a+3b)R1}$	1- $\frac{a(2b+(a+3b)R)}{a+b+(a+3b)R1}$
8	r1<r<r2	1- $\frac{a(3R1-r)}{4+3R}$	$\frac{(1+r)a}{4+3R}$	1- $\frac{(3R+2r1)a}{4+3R}$
8/14	r=r2	1- $\frac{a(aR+2b+3bR)}{aR+4b+3bR}$	$\frac{2ab}{aR+4b+3bR}$	1- $\frac{a(aR+3bR)}{aR+4b+3bR}$
14	r2<r	1- $\frac{2aR1+(a+b)r1}{4+2R}$	$\frac{a(1+r)-br1}{4+2R}$	1- $\frac{aR+(a+b)r1}{2+R}$

注 R1=1+R r1=1-r r1= $\frac{2aR1}{a+b+(a+3b)R1}$ r2= $\frac{-aR+4b+3bR}{aR+4b+3bR}$

4. 数値計算

は、有機物除去と硝化脱窒反応を考慮した筆者らのモデル^{3, 4)}(表1の11変数の予測モデル)に、表1の流入水質、図1、表2のパターン条件を適用して連立微分方程式(槽数は11)を立て、RKG法で解を得た(水温20°C)。モデルで基質等の制限条件はMonod型で、DOの影響はスイッチ関数で与えた。図1の曝気槽、終沈各槽は完全混合槽列とし、表1の水質を流入させ定常となった時の値を算出した。余剰汚泥引抜率wは曝気槽終端MLVSS

を3000mg/Lに、好気槽の曝気強度K_{Lal}はDOを2mg/Lに維持するように調整設定した。流入量は曝気槽HRT(=Q/V)が8, 10, 16hrの3通りで検討したが、最終沈殿池容量はそのHRTがつねに3hrとなるように増減させた。

この条件でrが0-100%の場合の放流水N濃度の変化図を、循環法AO(曝気槽流入端3槽が嫌気、ステップ^o流入なし)と比較して図3に示す。ステップ^o法のN除去はr値に関わらず、常にAOを上回った。最適なr値は、滞留時間HRT(=Q/V)が16hrの低負荷時には理論値と付近の30-40%となったが、HRT12 hrでは40-50%、8hrでは100%と負荷の増大でrが高い方にシフトした。理論値と最も類似性の高いHRT8hrのケースでも、r=0で低め、最適値で高めのIn-N濃度となり、その変化を小さくする方向で若干相違している。HRT8hrの場合NH4-N, NO_x-Nもr=30%付近で最低であり、理論値とパターンは一致している。理論解析は律速因子濃度が0までの反応進行を仮定しているので、高負荷でパターンが異なるのは、反応の進行が不十分なためと考えられる。また同図よりステップ^o法の硝化脱窒のためにはHRTが12hr程度が必要なことがわかる。

HRTが短い場合、どこでの反応が不十分かを検討するため、r=30%を例に水質の流下方向変化を図4に示した。各ケースとも両嫌気槽流出水のNO_x-Nはほぼ0であり、脱窒反応が律速ではないことがわかる。一方好気槽での硝化は高負荷時にきわめて少なく、これが全体のN除去を低下させた原因である。なお、HRT8hrはRが高い方が硝化菌の保持量が増加し、これが窒素除去の高い理由である。

6.まとめ

本研究では、ステップ^o法、嫌気好気活性汚泥法の最適ステップ^o率rを理論解析及び数値計算で検討し、以下の成果を得た。
①循環+返送率150%の運転では通常の下水の場合、rの値に関わらず両好気槽の硝化はアルカリ度律速となる。
②最適rは表4の式で与えられ、曝気槽流入NH4-N, T-N, BOD, VSSが各25, 38, 158, 98mg/Lの時、r=30%で最大N除去が期待できる。
③MLVSS3000mg/Lの条件で数値計算すると、効率的N除去のためにはHRTが12hr以上が望ましく、十分なHRTの場合、最適なrは理論値とほぼ一致する。

参考文献 1)藤井ら, 水環境講, Vol.28, p266-267(1994)

2)藤井ら, 土木年譲, Vol.49, pII B1118-1119(1994)

3)藤井ら, 下水協, Vol.32(1995), 4)S.FUJII et al,

Preprint of posterpapers in WPRC, p8036-806(1990)

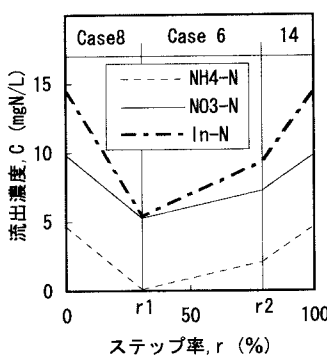
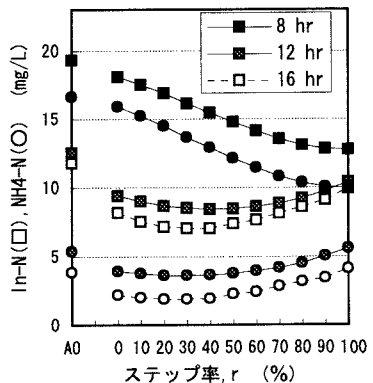
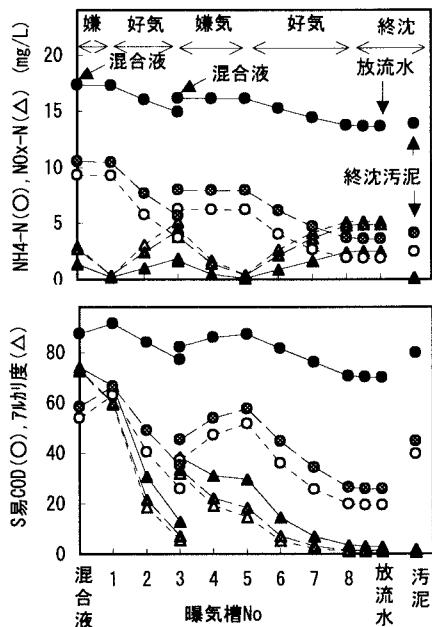


図2 理論解析による処理水質濃度

図3 滞留時間及びステップ^o率の処理水質への影響(数値計算)図4 流下方向への水質変化(数値計算)
[滞留時間(hr): ■(8), ▲(12), □(16)]